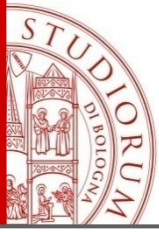


Il metodo degli elementi finiti nel caso multidimensionale



Metodo degli Elementi Finiti 2D

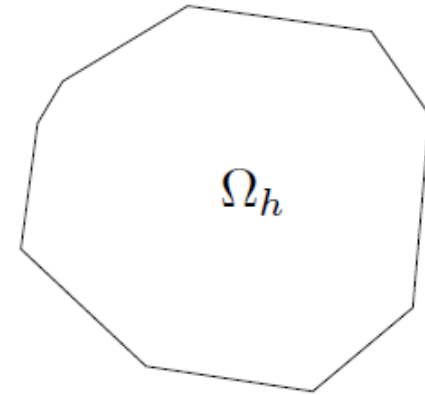
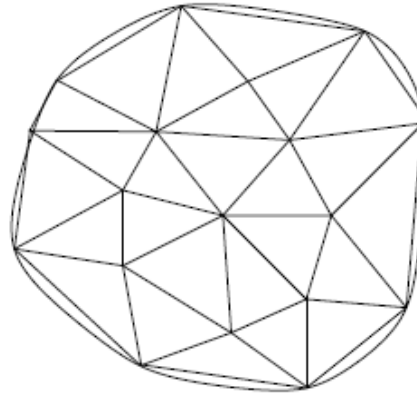
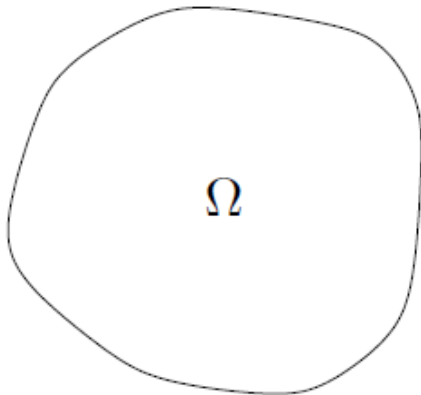
$\Omega \subset \mathbb{R}^2$ dominio

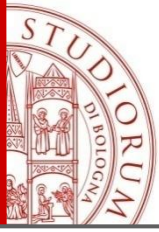
Triangolazioni \mathcal{T}_h che ne rappresentino il ricoprimento con triangoli non sovrapposti.

Domino discreto

$$\Omega_h = \text{int} \left(\bigcup_{K_j \in \mathcal{T}_h} K_j \right)$$

$$h = \max_{K_j \in \mathcal{T}_h} \text{diam}(K_j), \quad \text{diam}(K_j) = \text{diametro di } K_j$$





Metodo degli Elementi Finiti 2D

\mathbf{P}_r spazio dei polinomi di grado minori od uguale a r

$$\mathbf{P}_1 = \left\{ f(x_1, x_2) = a + bx_1 + cx_2, \text{ con } a, b, c \in \mathbb{R} \right\} \quad \dim(\mathbf{P}_1) = 3$$

$$\mathbf{P}_2 = \left\{ f(x_1, x_2) = a + bx_1 + cx_2 + dx_1x_2 + ex_1^2 + gx_2^2, \text{ con } a, b, c, d, e, g \in \mathbb{R} \right\} \quad \dim(\mathbf{P}_2) = 6$$

....

$$\mathbf{P}_r = \left\{ f(x_1, x_2) = \sum_{i+j \leq r} a_{ij} x_1^i x_2^j, \text{ con } a_{ij} \in \mathbb{R} \right\} \quad \dim(\mathbf{P}_r) = \frac{(r+1)(r+2)}{2}$$

Spazio generatore degli elementi finiti

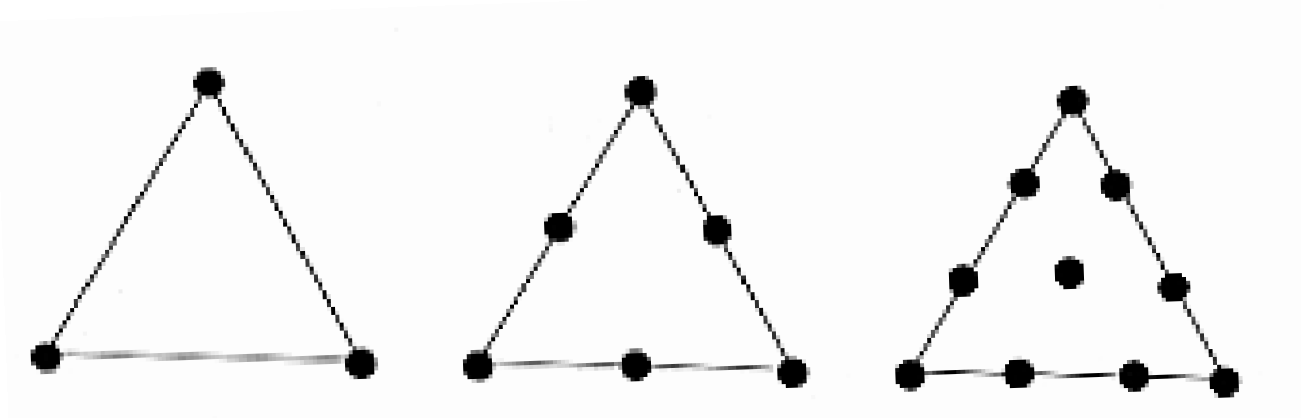
$$\mathbf{X}_h^r = \left\{ v_h \in C^0(\overline{\Omega}) : v_h|_K \in \mathbf{P}_r, \quad \forall K \in \mathcal{T}_h \right\} \quad r = 1, 2, \dots$$

è lo spazio delle funzioni polinomiali sui singoli triangoli (elementi) sulla reticolazione \mathcal{T}_h

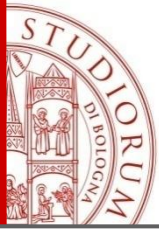
Metodo degli Elementi Finiti 2D

$$\dim P_r = \frac{(r+1)(r+2)}{2} \quad \dim P_1=3 \quad \dim P_2=6 \quad \dim P_3=10$$

Quindi su ogni singolo elemento della triangolazione T_h la generica funzione v_h è ben definita qualora se ne conosca il valore rispettivamente in 3, 6 e 10 nodi opportunamente scelti.



Nodi per polinomi lineari (r=1) quadratici (r=2) cubici (r=3)



Metodo degli Elementi Finiti 2D

$$X_h^r = \left\{ v_h \in C^0(\overline{\Omega}) : v_h|_K \in \mathbf{P}_r, \quad \forall K \in \mathcal{T}_h \right\} \quad r = 1, 2, \dots$$

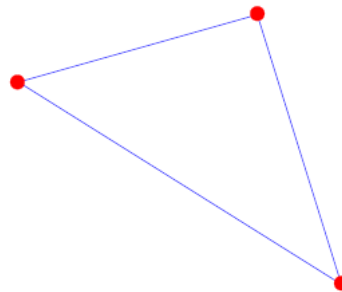
$$\overset{\circ}{X}_h^r = \left\{ v_h \in X_h^r : v_h|_{\partial\Omega} = 0 \right\}$$

X_h^r e $\overset{\circ}{X}_h^r$ sono idonei ad approssimare rispettivamente
 $H^1(\Omega)$ e $H_0^1(\Omega)$

Elementi finiti lineari

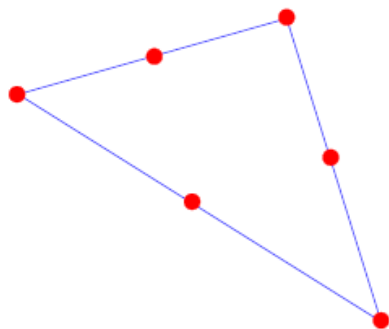
- Prendiamo $r = 1$. Scegliamo come gradi di libertà per descrivere le funzioni di X_h^1
i valori nei vertici degli elementi di T_h

È abbastanza intuitivo che una funzione $v_h \in X_h^1$ sia completamente determinata dai valori che essa assume nei vertici degli elementi della triangolazione

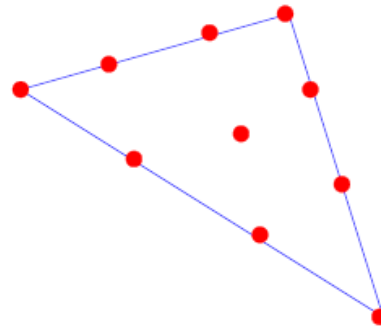


Elementi finiti quadratici e cubici

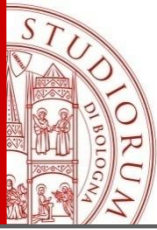
- Prendiamo ora $r = 2$. Scegliamo come gradi di libertà per descrivere le funzioni di X_h^2
i valori nei vertici e quelli nei punti medi dei lati degli elementi di \mathcal{T}_h
- Per X_h^3 considereremo 10 gradi di libertà per ogni elemento (distribuiti come in figura) e così via per elementi di grado maggiore.



quadratici



cubici



FEM 2D problema di Poisson

Determinare u tale che

$$\begin{cases} -\Delta u = f & \text{in } \Omega \\ u = 0 & \text{su } \Gamma \end{cases} \quad \Omega \subset \mathbb{R}^2$$

trovare $u_h \in V_h$

$$\int_{\Omega} \nabla u_h \cdot \nabla v_h \, d\Omega = \int_{\Omega} f v_h \, d\Omega \quad \forall v_h \in V_h, \quad V_h = X_h^r$$

Ogni funzione $v \in V_h$ è caratterizzata in modo univoco dai valori che essa assume ai nodi \mathbf{N}_i , con $i=1,2,\dots,N_h$ della triangolazione \mathcal{T}_h (escludendo i **nod**i di bordo dove $\mathbf{v}_h=0$).

FEM 2D problema di Poisson

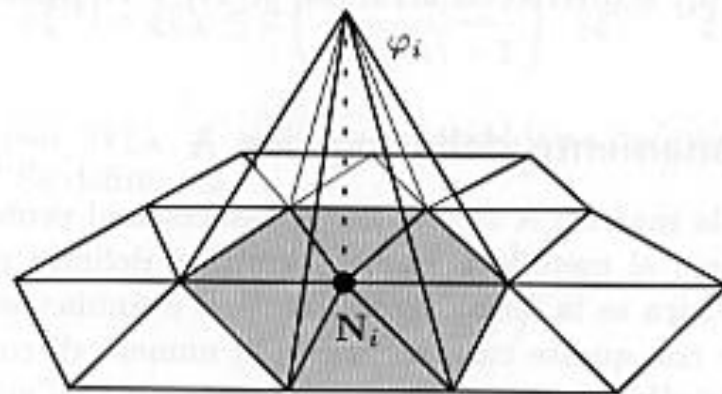
**Base
dello spazio**

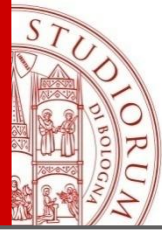
$$\phi_j \in V_h, \quad j = 1, 2, \dots, N_h$$

$$\phi_j(N_i) = \delta_{ij} = \begin{cases} 0 & i \neq j \\ 1 & i = j \end{cases} \quad i, j = 1, 2, \dots, N_h$$

Se $r = 1$, i gradi di libertà sono i vertici degli elementi, non appartenenti al bordo di Ω , mentre ϕ_j è lineare su ogni triangolo ed assume il valore 1 nel nodo N_j e 0 in tutti gli altri nodi della reticolazione.

N_h i nodi interni
della triangolazione T_h





FEM 2D problema di Poisson

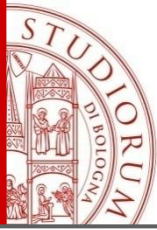
Esprimendo $v_h(x) = \sum_{i=1}^{N_h} \eta_i \phi_i(x)$ $x \in \Omega$ con $\eta_i = v_h(N_i)$

$$u_h(x) = \sum_{i=1}^{N_h} \xi_i \phi_i(x)$$

ed imponendo che essa verichi l'equazione $\int_{\Omega} \nabla u_h \cdot \nabla v_h \, d\Omega = \int_{\Omega} f v_h \, d\Omega$ per ogni funzione della base stessa,

$$\sum_{j=1}^{N_h} \eta_j \sum_{i=1}^{N_h} \xi_i \int_{\Omega} \nabla \phi_i \cdot \nabla \phi_j \, d\Omega = \sum_{j=1}^{N_h} \eta_j \int_{\Omega} f \phi_j \, d\Omega \quad j = 1, 2, \dots, N_h$$

si trova il sistema lineare di N_h equazioni nelle N_h incognite ξ_i



FEM 2D problema di Poisson

$$\sum_{j=1}^{N_h} \eta_j \sum_{i=1}^{N_h} \xi_i \int_{\Omega} \nabla \phi_i \cdot \nabla \phi_j \, d\Omega = \sum_{j=1}^{N_h} \eta_j \int_{\Omega} f \phi_j \, d\Omega \quad j = 1, 2, \dots, N_h$$

Matrice di **stiffness** $N_h \times N_h$

$$A = [a_{ij}] \quad a_{ij} = \int_{\Omega} \nabla \phi_i \cdot \nabla \phi_j \, d\Omega$$

$$\xi = [\xi_i] \quad \text{con} \quad \xi_i^{\Omega} = u_h(N_i)$$

$$b = [b_i] \quad \text{con} \quad b_i = \int_{\Omega} f \phi_i \, d\Omega$$

$$\boxed{A \xi = b}$$

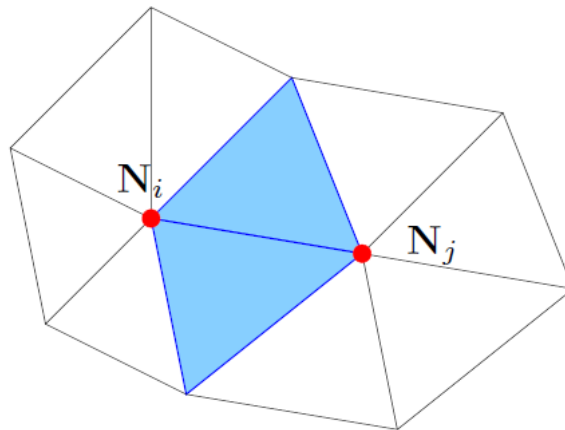
**Simmetrica, def pos.,
sparsa**

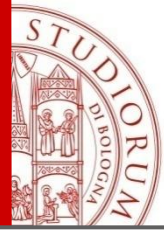
FEM 2D problema di Poisson

$$A = [a_{ij}] \quad a(\varphi_i, \varphi_j) = a_{ij} = \sum_{K \in T_h} \int_K \nabla \varphi_i \cdot \nabla \varphi_j \, d\Omega$$

Essendo il supporto della generica funzione φ_i della base formato dai soli triangoli aventi in comune il nodo \mathbf{N}_i , A è una matrice sparsa.

In particolare a_{ij} è diverso da zero solo se \mathbf{N}_i e \mathbf{N}_j sono nodi dello stesso triangolo



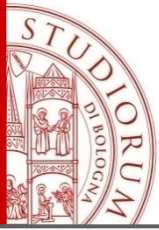


FEM 2D problema di Poisson

Matrice locale di stiffness dell'elemento K

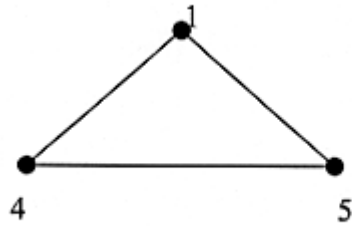
$$\begin{bmatrix} a_K(\varphi_i, \varphi_i) & a_K(\varphi_i, \varphi_j) & a_K(\varphi_i, \varphi_k) \\ a_K(\varphi_j, \varphi_i) & a_K(\varphi_j, \varphi_j) & a_K(\varphi_j, \varphi_k) \\ a_K(\varphi_k, \varphi_i) & a_K(\varphi_k, \varphi_j) & a_K(\varphi_k, \varphi_k) \end{bmatrix}$$

Assemblaggio: costruzione della matrice stiffness globale utilizzando le matrici relative ad ogni elemento $K \in T_h$

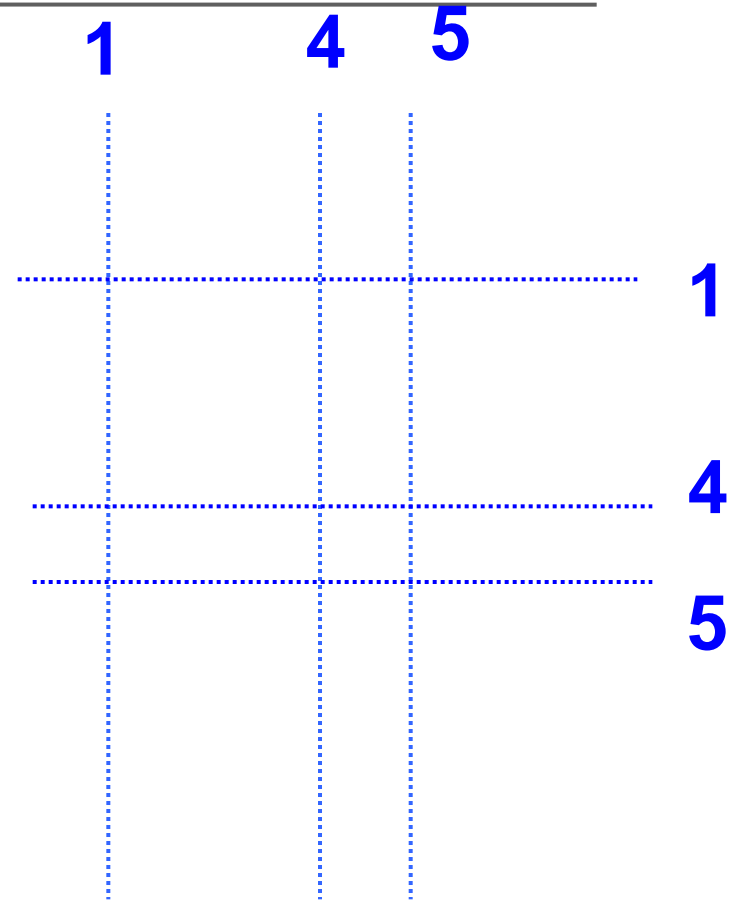


FEM 2D problema di Poisson

$$A^e = \begin{bmatrix} 7 & 3 & 1 \\ 3 & 6 & 2 \\ 1 & 2 & 5 \end{bmatrix}$$



$$A = \begin{bmatrix} 7 & 0 & 0 & 3 & 1 & \cdot & \cdot & \cdot \\ 0 & 0 & 0 & 0 & 0 & \cdot & \cdot & \cdot \\ 0 & 0 & 0 & 0 & 0 & \cdot & \cdot & \cdot \\ 3 & 0 & 0 & 6 & 2 & \cdot & \cdot & \cdot \\ 1 & 0 & 0 & 2 & 5 & \cdot & \cdot & \cdot \\ \cdot & \cdot \\ \cdot & \cdot \\ \cdot & \cdot \end{bmatrix}$$





Condizionamento della matrice A

La matrice $A = [a_{ij}]$ $a(\varphi_i, \varphi_j) = a_{ij} = \sum_{K \in T_h} \int_K \nabla \varphi_i \cdot \nabla \varphi_j \, d\Omega$

è definita positiva; inoltre A risulta essere simmetrica se la forma bilineare $a(.,.)$ è simmetrica.

Il suo numero di condizionamento è dato da

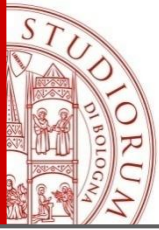
$$K_2(A) = \lambda_{\max}(A) / \lambda_{\min}(A);$$

essendo $\lambda_{\max}(A)$ e $\lambda_{\min}(A)$, gli autovalori di modulo massimo e minimo, rispettivamente, di A.

Si può dimostrare che $K(A) = C h^{-2}$

dove C è una costante indipendente dal passo reticolare h, ma dipendente dal grado degli elementi finiti utilizzati.

La matrice è pertanto *malcondizionata al decrescere di h.*



Stima dell'errore di approssimazione

Teorema

Sia $u \in V$ la soluzione esatta del problema variazionale

$$\begin{array}{l} \text{Determinare } u \in V : \\ a(u, v) = F(v) \quad \forall v \in V \end{array}$$

e u_h la sua approssimata con il metodo ad elementi finiti di grado r .

Se $u \in H^{r+1}(\Omega)$ allora vale la seguente disuguaglianza, detta anche **stima a priori dell'errore**:

$$\|u - u_h\|_{H^1(\Omega)} \leq \frac{M}{\alpha} Ch^r |u|_{H^{r+1}(\Omega)} \quad \text{Norma energia}$$

L'elemento di riferimento

Come in 1D, ogni elemento triangolare $K \in \mathcal{T}_h$ è l'immagine dell'elemento di riferimento \widehat{K} attraverso la trasformazione di coordinate (invertibile)

$$\mathbf{x} = \mathbf{x}(\widehat{\xi}) = B_K \widehat{\xi} + b_K \quad (5)$$

dove

$$B_K = \begin{pmatrix} x_2 - x_1 & x_3 - x_1 \\ y_2 - y_1 & y_3 - y_1 \end{pmatrix} \quad b_K = \begin{pmatrix} x_1 \\ y_1 \end{pmatrix}$$

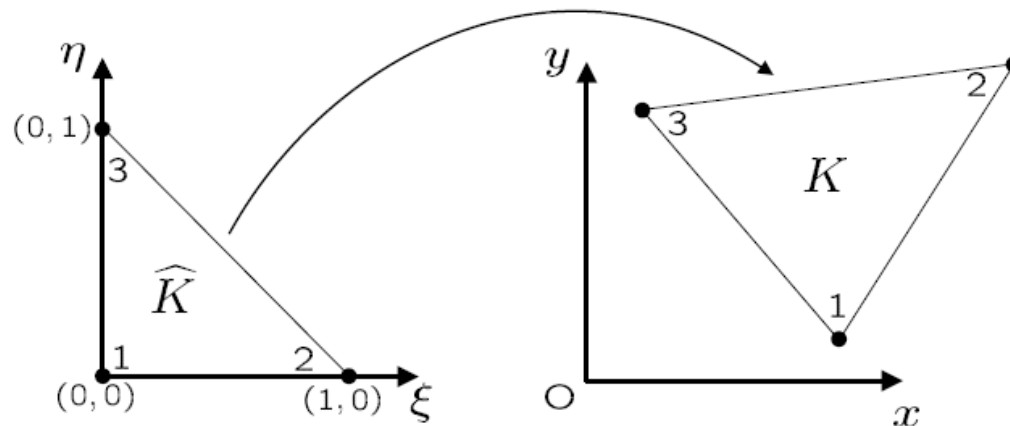


Figura 1: Trasformazione di coordinate da \widehat{K} al generico triangolo $K \in \mathcal{T}_h$.

Funzioni base sull'elemento di riferimento

Il caso $r = 1$

$$\hat{\varphi}_0(\hat{\xi}) = 1 - \xi - \eta$$

$$\hat{\varphi}_1(\hat{\xi}) = \xi$$

$$\hat{\varphi}_2(\hat{\xi}) = \eta$$

Il caso $r = 2$

$$\hat{\varphi}_0(\hat{\xi}) = (1 - \xi - \eta)(1 - 2\xi - 2\eta)$$

$$\hat{\varphi}_1(\hat{\xi}) = \xi(-1 + 2\xi)$$

$$\hat{\varphi}_2(\hat{\xi}) = \eta(-1 + 2\eta)$$

$$\hat{\varphi}_3(\hat{\xi}) = 4\xi(1 - \xi - \eta)$$

$$\hat{\varphi}_4(\hat{\xi}) = 4\xi\eta$$

$$\hat{\varphi}_5(\hat{\xi}) = 4\eta(1 - \xi - \eta)$$

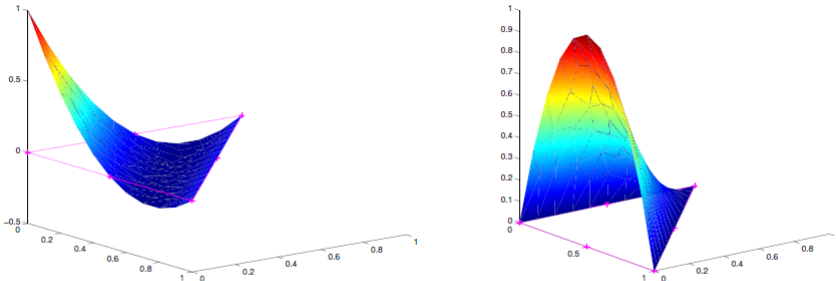


Figura 2: Funzioni di base di grado 2 su \hat{K} .



Calcolo integrali sull'elemento di riferimento

Utilizzando la (5) si ottiene

$$\frac{\partial \varphi_i(x, y)}{\partial x} = \frac{\partial \hat{\varphi}_i}{\partial \xi} \frac{\partial \xi}{\partial x} + \frac{\partial \hat{\varphi}_i}{\partial \eta} \frac{\partial \eta}{\partial x}, \quad \frac{\partial \varphi_i(x, y)}{\partial y} = \frac{\partial \hat{\varphi}_i}{\partial \xi} \frac{\partial \xi}{\partial y} + \frac{\partial \hat{\varphi}_i}{\partial \eta} \frac{\partial \eta}{\partial y}$$

ovvero

$$\nabla \varphi_i = B_K^{-T} \nabla \hat{\varphi}_i$$

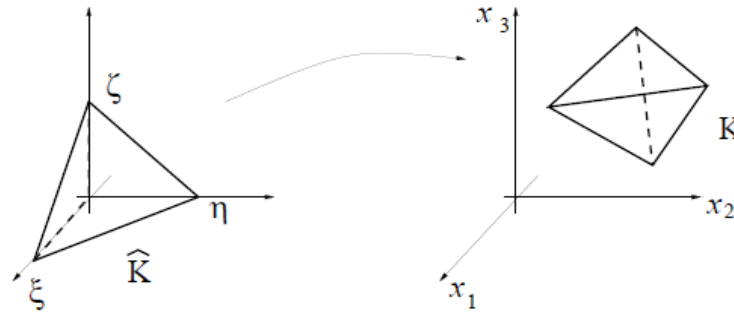
dove, indicando con $|K|$ l'area del triangolo K , si ha

$$B_K^{-T} = \frac{1}{2|K|} \begin{pmatrix} \frac{\partial y}{\partial \eta} & -\frac{\partial y}{\partial \xi} \\ -\frac{\partial x}{\partial \eta} & \frac{\partial x}{\partial \xi} \end{pmatrix} = \frac{1}{2|K|} \begin{pmatrix} y_3 - y_1 & -(y_2 - y_1) \\ -(x_3 - x_1) & x_2 - x_1 \end{pmatrix}.$$

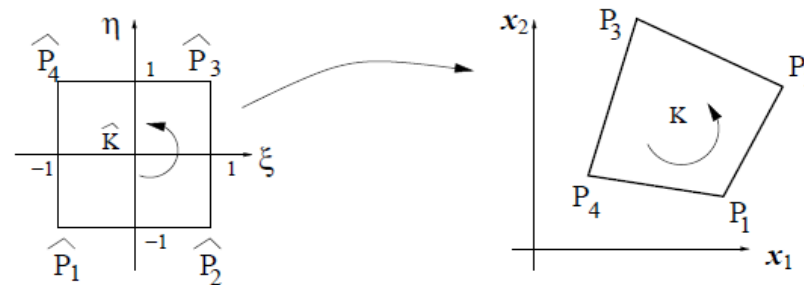
$$a_{ij}^K = \int_K \nabla \varphi_j \cdot \nabla \varphi_i dx = \int_{\hat{K}} \mathbf{B}_K^{-T} \nabla \hat{\varphi}_j \cdot \mathbf{B}_K^{-T} \nabla \hat{\varphi}_i |\det \mathbf{B}_K| d\hat{\xi}$$
$$f_i^K = \int_K f \varphi_i dx = 2|K| \int_{\hat{K}} f(x(\hat{\xi})) \hat{\varphi}_i d\hat{\xi}$$

Elementi tetraedrici in 3D

In 3D valgono ragionamenti analoghi sui tetraedri.



Elementi quadrilateri Q^1 in 2D (bilineari-isoparametrici)



Mappatura geometrica:
$$\begin{cases} \hat{\varphi}_1 = (1 - \xi)(1 - \eta), & \hat{\varphi}_2 = (1 + \xi)(1 - \eta) \\ \hat{\varphi}_3 = (1 + \xi)(1 + \eta), & \hat{\varphi}_4 = (1 - \xi)(1 + \eta) \end{cases}$$

E' una base **bilineare** (ossia lineare rispetto ad ogni variabile indipendente).

Se il quadrilatero fisico non è degenere, i requisiti per la convergenza sono soddisfatti.

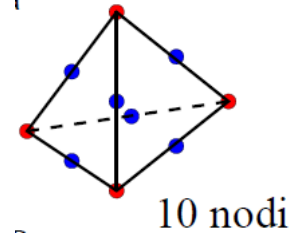
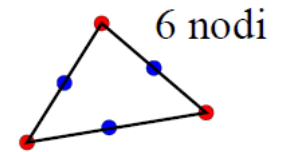
Osservazione: L'elemento triangolare lineare può essere visto come **derivato da questo** per "collasso" di due nodi.

Elementi di ordine elevato

Quando si vuole procedere con elementi di ordine più elevato di 1, si hanno essenzialmente due possibilità:

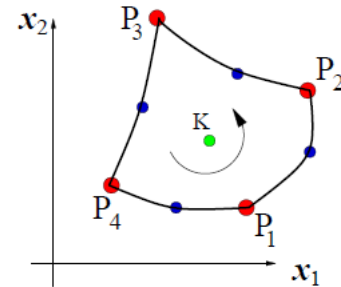
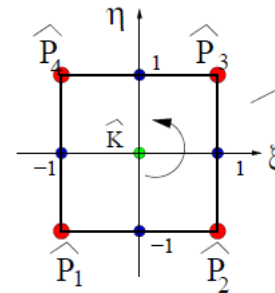
1. Elementi affini: La mappatura geometrica rimane lineare, mentre i polinomi della base di V_h salgono di grado.

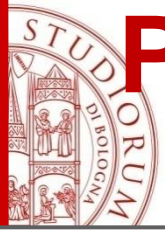
Esempio: i triangoli/tetraedri lineari con basi quadratiche.



2. Elementi Isoparametrici: La mappatura geometrica è descritta dalle stesse funzioni di base (di alto ordine). In questo modo si costruiscono elementi a lati curvi.

Esempio: gli elementi triangolari/quadrilateri curvi

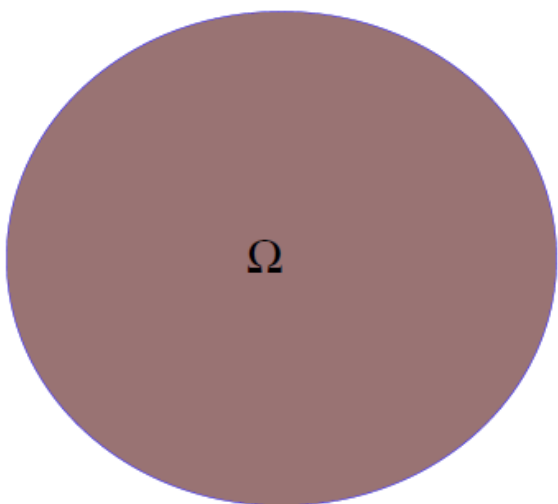




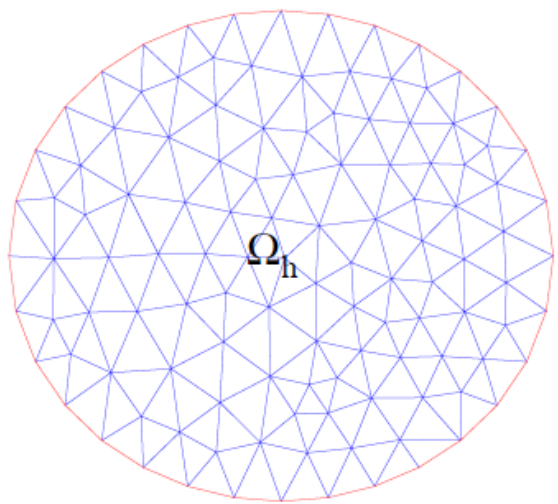
Processo di discretizzazione del dominio

$$\Omega \subset \mathbb{R}^d \Rightarrow \mathcal{T}_h(\Omega) = \{K_i \subset \mathbb{R}^d : \bigcup_i K_i = \overline{\Omega}_h\}$$

$K_i = T_i(\tilde{K})$, \tilde{K} poliedro T_i mappa continua ed invertibile (p.es. affine)



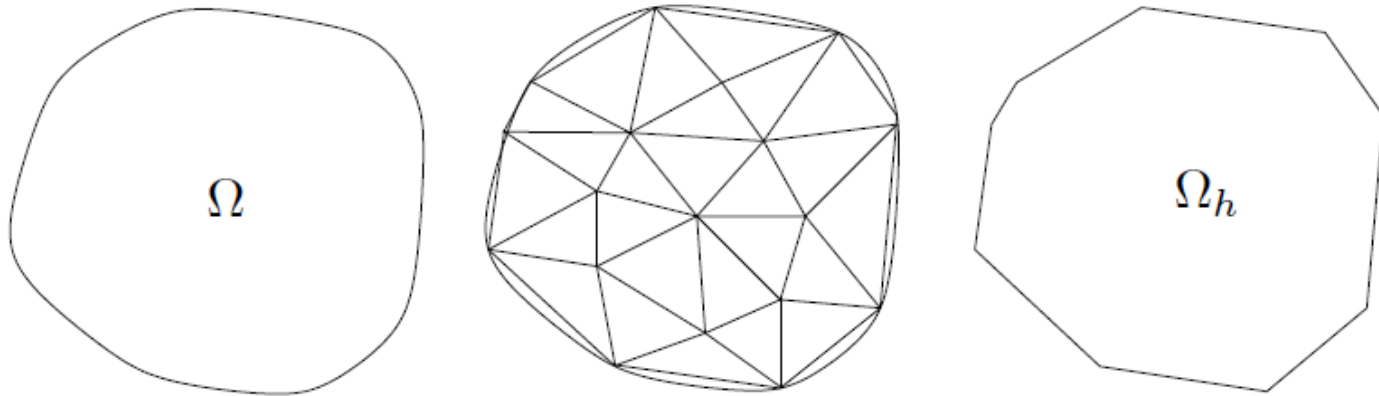
Dominio



Dominio Computazionale

$$\lim_{h \rightarrow 0} \text{dist}(\Omega_h - \Omega) = 0 \quad (\mathcal{O}(h^2))$$

Dominii non poligonali



Esempio di triangolazione di un dominio non-poligonale.

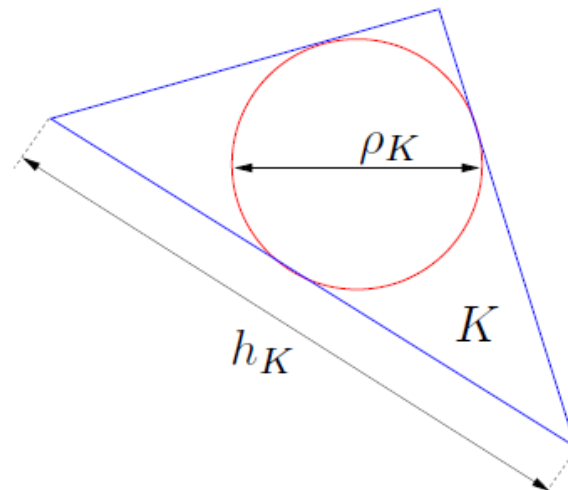
La triangolazione induce una *approssimazione* Ω_h del dominio Ω

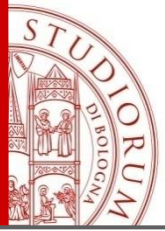
L'errore è dell'ordine di h^2 a meno di non approssimare il bordo con polinomi a pezzi di grado $r \geq 2$ (*trasformazioni iso-parametriche*).

Utilizzeremo nel seguito il simbolo Ω per indicare indistintamente sia il dominio computazionale che la sua (eventuale) approssimazione.

Indichiamo con

- ▶ $h_K = \text{diam}(K) = \max_{\mathbf{x}, \mathbf{y} \in K} |\mathbf{x} - \mathbf{y}|$ il *diametro* dell'elemento $K \in \mathcal{T}_h$
- ▶ $h = \max_{K \in \mathcal{T}_h} h_K$;
- ▶ ρ_K l'estremo superiore dei diametri dei cerchi contenuti in K (la *sfericità*)





Requisiti di una mesh di discretizzazione

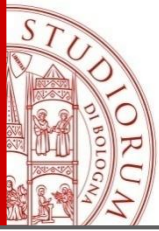
Imporremo che la griglia soddisfi la seguente condizione di *regolarità*.

- Una famiglia di triangolazioni $\{T_h; h > 0\}$ è detta *regolare* se, per un opportuno $\delta > 0$ è verificata la condizione

$$\frac{h_K}{\rho_K} \leq \delta \quad \forall K \in T_h, \forall h > 0$$

δ livello di qualità della **GRIGLIA DI CALCOLO**

- Questa condizione impone che nella reticolazione non ci possano essere elementi con un *angolo arbitrariamente piccolo*.



Requisiti di una mesh di discretizzazione

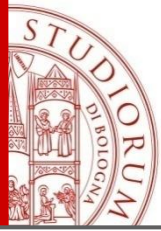
Una mesh T_h deve descrivere correttamente il dominio fisico

Deve rappresentare bene il bordo esterno o eventuali bordi interni (interfacce)

L'approssimazione di bordi curvi può essere fatta:

1. rettificandoli
- 2 usando elementi iso-parametrici

$$\overline{\Omega} = \bigcup_{K \in T_h} K$$



Requisiti di una mesh di discretizzazione

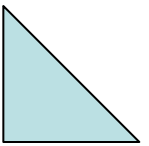
La mesh deve essere coerente:

1. $K \neq \emptyset$, $\forall K \in \mathbf{T}_h$;
2. $K_1 \cap K_2 = \emptyset$ per ogni $K_1, K_2 \in \mathbf{T}_h$ con $K_1 \neq K_2$;
3. se $F = K_1 \cap K_2 \neq \emptyset$ con $K_1, K_2 \in \mathbf{T}_h$ e $K_1 \neq K_2$, allora F è o un intero lato o un vertice della griglia;

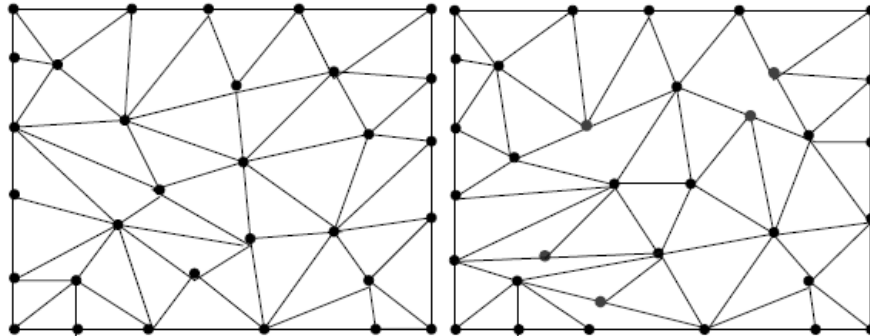
Le mesh sono costituiti dai seguenti due elementi:

il poligono (poliedro) di riferimento è un *triangolo (tetraedro)* e, di conseguenza, K è un triangolo (tetraedro);

il poligono (poliedro) di riferimento è un *quadrato (cubo)* e, di conseguenza, K è un parallelogrammo (parallelepipedo).



Il requisito n. 3 impone che alle interfacce non ci siano “*crisi di identità*”: un punto o è parte di uno spigolo o è un vertice *per tutti gli elementi sul cui bordo si trova quel punto*.

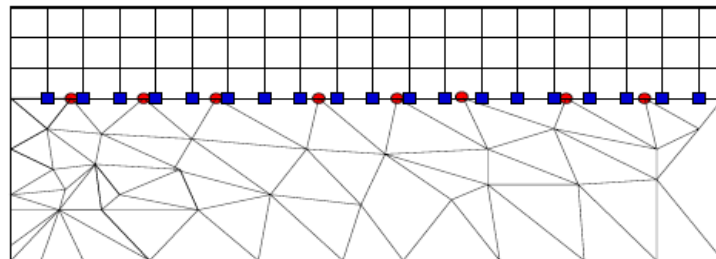


Sinistra: griglia conforme, destra: griglia non conforme

Una griglia che soddisfa il vincolo n. 3 si dice *conforme*.

Tutta l’analisi vista in questo corso si riferisce a *elementi finiti conformi*.

In effetti, è possibile definire il metodo degli elementi finiti per griglie **non conformi**. In generale, non è necessario lavorare con tali griglie, a parte casi specifici. (es.: problemi eterogenei risolti con griglie diverse).



- La dimensione h deve essere scelta opportunamente.

Questo è un aspetto delicato: la teoria dice che più h è piccolo e più la soluzione è accurata... ma anche computazionalmente costosa. La scelta ottimale di h è in realtà **una funzione della soluzione** e pertanto variabile localmente, in genere con una distribuzione non nota a priori.

La mesh non è un dato, ma un'incognita del problema (M. Fortin - vd. ADAPT.)

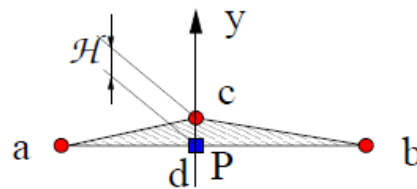
- Gli elementi devono essere “round”, cioè *non troppo schiacciati*.

Formalmente, questo si traduce in un vincolo su δ_K (*mesh regolare*):

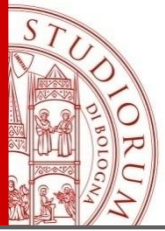
$$\max_K \delta_K \leq \text{costante}$$

Questo evita che vi siano elementi troppo “schiacciati”, *ove l'accuratezza della soluzione possa essere compromessa*.

Esempio:

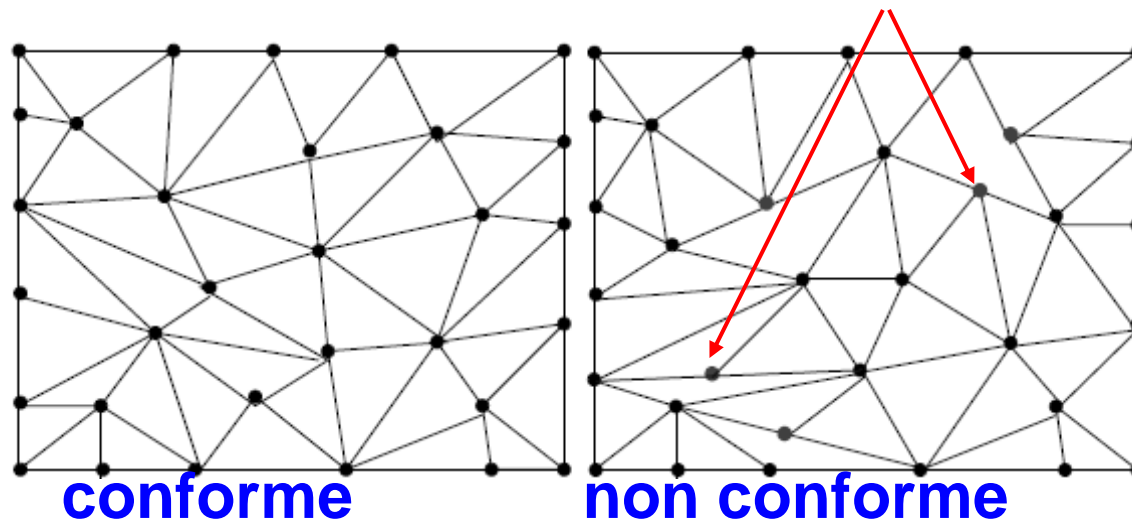


Nel nodo P la soluzione ha un valore d che dipende (nel caso di EF lineari) dai valori a e b . La derivata $\partial_y u$ in P sarà $\approx \frac{c-d}{\mathcal{H}}$ essendo \mathcal{H} l'altezza del triangolo. Se non c'è controllo su \mathcal{H} , **il valore della derivata può essere arbitrariamente grande**.

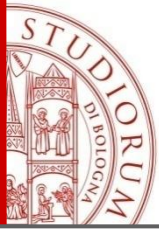


Reticolazione di un dominio poligonale

La condizione 3. limita le triangolazioni ammissibili a quelle cosiddette **conforme**. Un punto o è parte di uno spigolo o è un vertice per tutti gli elementi sul cui bordo si trova quel punto.

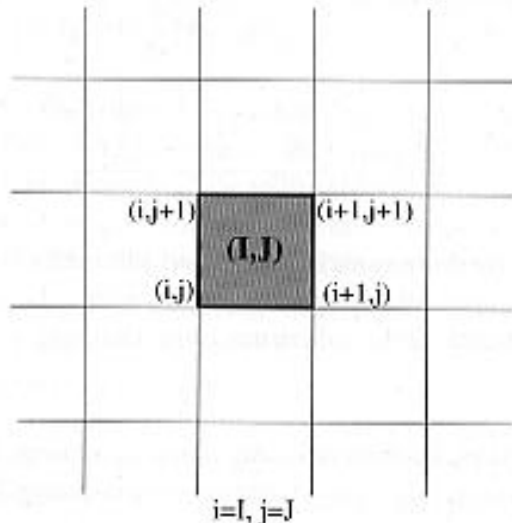


Esistono delle approssimazioni agli elementi finiti molto particolari che utilizzano griglie non conformi.

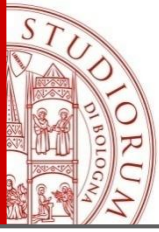


Griglie strutturate e non-strutturate

Griglie strutturate: utilizzano elementi quadrangolari e sono caratterizzate dal fatto che l'accesso ai nodi adiacenti ad un dato nodo (o agli elementi adiacenti ad un dato elemento) è immediato. Infatti è possibile stabilire una relazione biunivoca tra i nodi di griglia e le coppie di numeri interi (i,j) , $i=1,2,\dots,N_i$, $j=1,2,\dots,N_j$ tali per cui dato il nodo di coefficienti (i,j) , i **4 nodi adiacenti** sono in corrispondenza agli indici $(i-1,j)$, $(i+1,j)$, $(i,j-1)$, $(i,j+1)$. Una analoga associazione può essere fatta tra gli elementi della griglia e le coppie (I,J) , $I=1,2,\dots,N_{i-1}$, $J=1,2,\dots,N_{j-1}$.



Numero totale nodi $N_i N_j$.



Griglie strutturate e non-strutturate

Griglia non strutturata: l'associazione tra ciascun elemento di griglia ed i suoi nodi deve essere esplicitamente memorizzata nella **matrice delle connettività**, che appunto fornisce per ciascun elemento la numerazione dei nodi ad esso appartenenti.

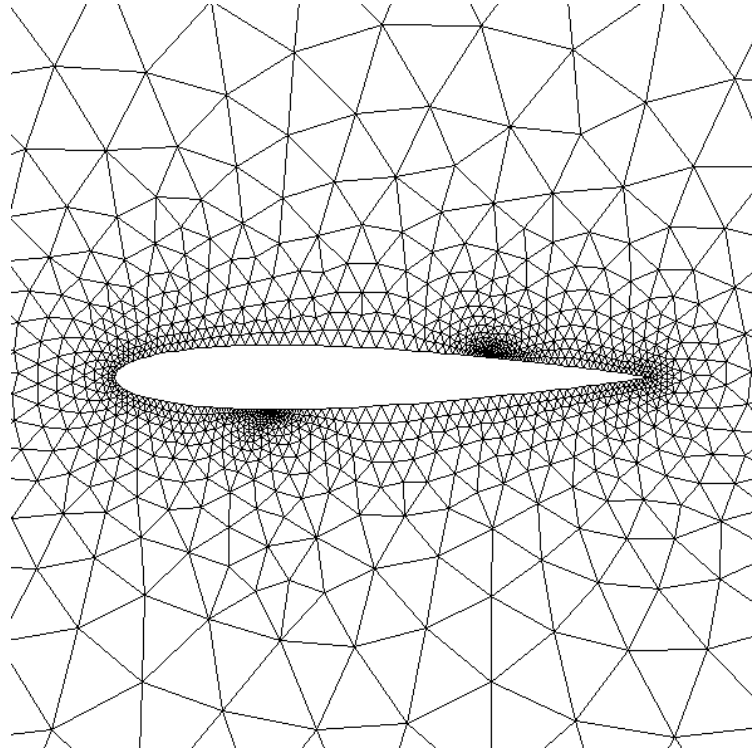
Griglie strutturate

- algoritmi più efficienti sia in termini di memoria che tempi di calcolo

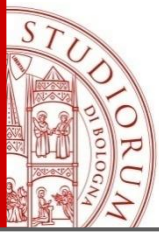
Griglie non strutturate

- Maggiore flessibilità sia dal punto di vista delle **triangolazione di domini di forma complessa** sia perché offrono la possibilità di **raffinare/diradare localmente** la griglia.

Griglie strutturate e non-strutturate



Griglie non strutturate sono in genere formate da triangoli, anche se è possibile avere griglie non strutturate quadrangolari.



Generazione griglie non strutturate - elementi triangolari

Algoritmi principali

Triangolazione di Delaunay.

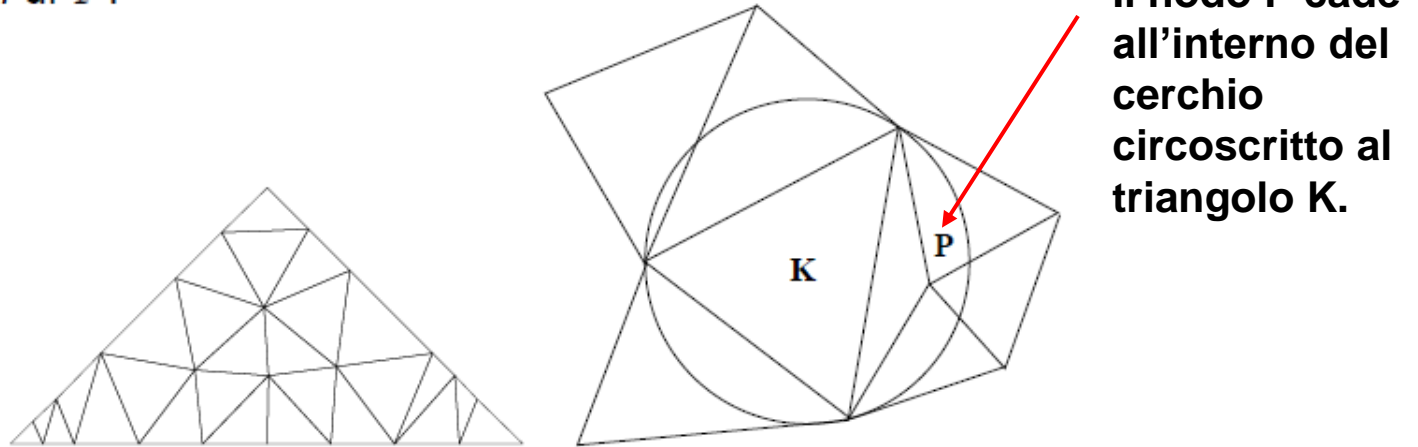
Tecnica di *avanzamento del fronte.*

Triangolazione di Delaunay. Proprietà:

1. Dato un set di punti, la sua triangolazione di Delaunay è unica, a parte situazioni particolari in cui m punti ($m > 3$) giacciono su una circonferenza;
2. Tra tutte le triangolazioni possibili la triangolazione di Delaunay è quella che massimizza il minimo angolo dei triangoli della griglia (proprietà max-min);
3. L'insieme formato dall'unione dei triangoli è la più piccola figura convessa che racchiude il set di punti dato.

Triangolazione di Delaunay

- Una triangolazione si dice di Delaunay se la circonferenza circoscritta di ciascun triangolo non contiene alcun vertice al suo interno.



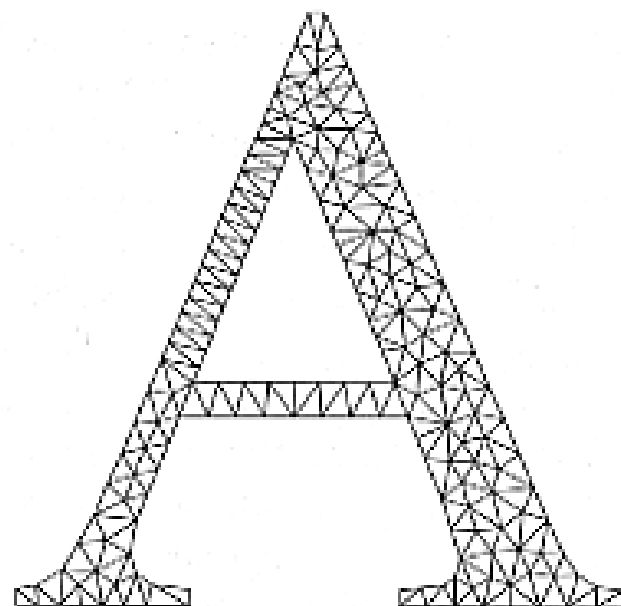
Il nodo P cade all'interno del cerchio circoscritto al triangolo K.

A sinistra, Griglia di Delaunay, a destra griglia NON Delaunay.

- La terza proprietà rende l'algoritmo di Delaunay impraticabile per domini non convessi, almeno nella sua forma originaria.
- Variante: algoritmo di Delaunay vincolato
- Permette di fissare a-priori un insieme di lati della griglia da generare (in particolare si possono fissare i lati che definiscono la frontiera della griglia).

Triangolazione di Delaunay

- Dati due punti P_1 e P_2 diremo che essi sono reciprocamente *visibili* se il segmento P_1P_2 non attraversa nessuno dei lati di frontiera (o, in generale, i lati che si vogliono fissare).
- Una **triangolazione di Delaunay vincolata** soddisfa la proprietà: l'interno del cerchio circoscritto a ciascun triangolo K non contiene alcun nodo che sia visibile da un punto interno di K .
- La triangolazione è unica e soddisfa la proprietà max-min.



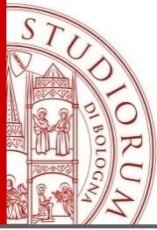
Programma TRIANGLE
www.netlib.org

PROPRIETÀ:

- ▶ dato un insieme di vertici, la griglia di Delaunay associata è unica (a meno di equivalenze);
- ▶ l'unione dei triangoli di Delaunay è la figura convessa di area minima che racchiuda l'insieme di punti dato;
- ▶ la triangolazione di Delaunay massimizza il minimo angolo dei triangoli della griglia (*proprietà di regolarità max-min*).

OSSERVAZIONI:

- ▶ il calcolo della mesh di Delaunay è un problema ben posto (esistenza e unicità della soluzione);
- ▶ la proprietà di max-min ne motiva la ricerca (regolarità);
- ▶ nella pratica, l'area che racchiude l'insieme di punti dato è assegnata, essendo il dominio fisico; questo richiede l'uso di opportune modifiche alle definizioni e metodi relativi a Delaunay, che tengano conto dei vincoli dati dai bordi esterni (*Constrained Delaunay Triangulation*).



Bibliografia

- 1. A. Quarteroni:** Modellistica Numerica per Problemi Differenziali, Springer Italia 2006.
- 2. Johnson,** Numerical Solution of Partial Differential Equations by the Finite Element Method (Cap. 1), Cambridge University Press, Cambridge (1987).
- 3. T. J. R. Hughes,** The Finite Element Method. Linear Static and Dynamic Finite Element Analysis (Cap. 3), Dover Publishers, New York (2000).
- 4. P. J. Frey e P.-L. George,** Mesh Generation. Application to finite elements, Hermes Science, 2000.